

УДК 533.6.011

## **КОНИЧЕСКИЕ ТЕЧЕНИЯ В ОКРЕСТНОСТЯХ ИЗЛОМОВ КРОМОК ПОВЕРХНОСТЕЙ, РАЗДЕЛЯЮЩИХ СПУТНЫЕ СВЕРХЗВУКОВЫЕ ПОТОКИ ИДЕАЛЬНОГО ГАЗА**

**КРАЙКО А. Н., МАКАРОВ В. Е.**

Исследуются конические течения, которые возникают при обтекании идеальным (невязким и нетеплопроводным) газом «концевых» кромок поверхностей с изломами, разделяющих «внешний» и «внутренний» потоки с векторами скорости, параллельными линии пересечения поверхностей. Такие течения реализуются, в частности, в окрестностях изломов выходной кромки сопла прямоугольного поперечного сечения с «прямым» или «косым» срезом на режимах нерасчетного истечения сверхзвуковой струи в спутный сверхзвуковой поток. С помощью линейного анализа строятся картины течения, отвечающие различным режимам взаимодействия потоков и геометрическим характеристикам кромки, и формулируется закон подобия. Справедливость полученных таким путем результатов подтверждают примеры численного решения полной нелинейной системы уравнений Эйлера. При этом в рамках подхода [1], как правило, наряду со скачками и характеристическими поверхностями, ограничивающими рассматриваемое коническое течение, строится тангенциальный разрыв, разделяющий внешний и внутренний потоки.

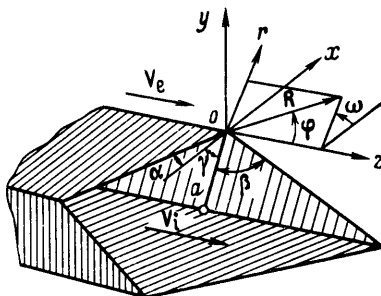
1. Пусть вне и внутри конфигурации, изображенной на фиг. 1, текут равномерные сверхзвуковые потоки, параллельные ее стенкам. Ограничимся случаями, когда перепад давлений  $n = p_i/p_e$  (индексы  $e$  и  $i$  приписываются далее невозмущенным параметрам внешнего и внутреннего потоков) таков, что ударные волны, возникающие в одном из них, присоединены к кромкам. Если в дополнение к этому по отношению к обоим потокам концевые кромки разделяющих поверхностей сверхзвуковые, то при их обтекании реализуются двумерные автомодельные течения с косыми скачками, тангенциальными разрывами и обобщенными центрированными волнами, в которых отлична от нуля (хотя и постоянна) компонента вектора скорости, параллельная данной кромке. Указанные течения, скачки, разрывы и волны будем называть «кромочными».

Взаимодействие кромочных потоков ведет к возникновению в окрестности каждого излома кромки конических течений, изучаемых ниже. Области кромочных и конических течений отделены друг от друга, как и от невозмущенных равномерных потоков, характеристическими поверхностями (в конических переменных — характеристиками и линиями параболности) и ударными волнами. Внутри каждой конической области есть тангенциальный разрыв, называемый далее «основным», который, соединяя кромочные тангенциальные разрывы, разделяет внешний и внутренний потоки. При нерегулярном пересечении кромочных скачков в результате их взаимодействия образуется диск Маха и возникают дополнительные тангенциальные разрывы. Последние соединяют тройные точки (в пространстве — линии) с основным тангенциальным разрывом.

Рассматривая коническое течение в окрестности данного излома, введем прямоугольные координаты  $xuz$  с осью  $z$ , направленной по ребру в сторону потока, и с плоскостью  $xz$ , совпадающей с плоскостью одной из стенок (фиг. 1,  $oa$  — сечение другой стенки плоскостью  $xu$ ). Соответствующим образом обезразмеренные параметры конического течения — функции

конических переменных [2]:  $\xi=x/z$  и  $\eta=y/z$ , безразмерных комбинаций, составленных из параметров невозмущенных потоков (для совершенных газов это будут:  $n$ , показатели адиабаты  $\kappa_e$  и  $\kappa_i$ , числа Маха  $M_e$  и  $M_i$ , отношения плотностей  $\rho_i/\rho_e$  или скоростей  $V_i/V_e$ , а также газовых постоянных  $R_i/R_e$ ; от  $R_i/R_e$  зависят только поля температур), и углов  $\alpha$ ,  $\beta$  и  $\gamma$ , введенных согласно фиг. 1. Для конфигурации с прямоугольным поперечным сечением и с «прямым» срезом  $\alpha=\beta=0$ , а  $\gamma=\pi/2$ . По аналогии с треугольными и V-образными крыльями углы  $\alpha$  и  $\beta$  естественно называть углами стреловидности. На фиг. 1 углы  $\alpha$  и  $\beta$  положительны. В принципе углы стреловидности могут меняться от  $-\pi/2$  до  $\pi/2$ .

В описанной выше упрощенной постановке, когда набегающие потоки равномерны и параллельны, разделяющие стенки бесконечно тонкие, а сверхзвуковые кромки прямолинейны, исследуемые конические течения из-за взаимодействий друг с дру-



Фиг. 1

гом разрушаются на конечном расстоянии от их «центров коничности». Нарушение любого из перечисленных условий, в том числе, непараллельность и неравномерность набегающих потоков, уменьшает протяженность областей коничности, как, впрочем, и автомоделных кромочных течений, до нуля. Несмотря на это в непосредственной окрестности кромок и их изломов течения данного типа, характеризующиеся конечными изменениями параметров в переменных  $\xi, \eta$ , реализуются в самом общем случае, обосновывая целесообразность упрощенной постановки. Сказанное справедливо и для дозвуковых кромок, если  $\alpha < 0$ , а  $\beta > 0$ . По этой причине анализ конических течений с дозвуковыми кромками ограничим только такими случаями.

Наряду с декартовыми координатами и переменными  $\xi, \eta$  рассмотрим сферические координаты  $R, \varphi, \omega$ , введенные согласно фиг. 1. Связь  $\xi$  и  $\eta$  с  $\varphi$  и  $\omega$  дается формулами  $\xi = \operatorname{tg} \varphi \cos \omega$ ,  $\eta = \operatorname{tg} \varphi \sin \omega$ . Если  $v_R, v_\varphi$  и  $v_\omega$  — соответствующие проекции вектора скорости  $V$ ;  $q = \sqrt{v_\varphi^2 + v_\omega^2}$  — модуль компоненты  $q$  вектора  $V$ , которая нормальна радиус-вектору  $R$ ;  $\vartheta = \operatorname{arctg}(v_\varphi/v_\omega)$ ;  $\rho$  — плотность;  $a$  — скорость звука;  $M_q = q/a$  — «коническое» число Маха;  $i$  и  $s$  — удельные энтальпия и энтропия (или «энтропийная функция» — некоторая функция только удельной энтропии), а  $I = i + V^2/2$  — полная энтальпия, то в силу независимости параметров от  $R$  уравнения конического течения можно записать в форме

$$\begin{aligned} \frac{M_q^2 - 1}{\rho q^2} \frac{\partial p}{\partial \tau} + \frac{\partial \vartheta}{\partial v} &= -v_R - v_\varphi \operatorname{ctg} \varphi, & \frac{1}{\rho q^2} \frac{\partial p}{\partial v} + \frac{\partial \vartheta}{\partial \tau} &= v_\omega \operatorname{ctg} \varphi, \\ \frac{\partial v_R}{\partial \tau} &= q^2, & \frac{\partial I}{\partial \tau} &= 0, & \frac{\partial s}{\partial \tau} &= 0 \end{aligned} \quad (1.1)$$

$$\begin{aligned} \left( \frac{\partial}{\partial \tau} = v_\varphi \frac{\partial}{\partial \varphi} + \frac{v_\omega}{\sin \varphi} \frac{\partial}{\partial \omega}, \quad \frac{\partial}{\partial v} = v_\omega \frac{\partial}{\partial \varphi} - \frac{v_\varphi}{\sin \varphi} \frac{\partial}{\partial \omega} \right) \\ v_\varphi = q \sin \vartheta, \quad v_\omega = q \cos \vartheta \end{aligned}$$

где  $\partial/\partial\tau$  и  $\partial/\partial\nu$  — операторы дифференцирования вдоль конических линий тока и по нормальям к ним. Главное отличие системы (1.1) от аналогичной системы, полученной в [3], состоит в записи четвертого уравнения, которое здесь дано в форме постоянства  $I$  на линии тока. Кроме того, (1.1) справедлива не только для совершенного газа с постоянным показателем адиабаты  $\kappa$ , как в [3], но и для произвольного «двухпараметрического» газа с уравнениями состояния  $\rho=\rho(p, s)$  и  $i=i(p, s)$ . Три последних уравнения системы (1.1) не содержат производных по нормали к линиям тока, которые в силу этого являются трижды вырожденными характеристиками ( $c^0$ -характеристиками). Согласно (1.1), вдоль них

$$d\nu=0, \quad d\tau=d\varphi/v_\omega, \quad d\varphi=\operatorname{tg} \vartheta \sin \varphi d\omega, \quad dv_R=(q^2 \sin \varphi/v_\omega) d\omega=(q^2/v_\omega) d\varphi, \\ dI=ds=0.$$

На сфере  $R=\operatorname{const}$  линии тока касаются вектора  $\mathbf{q}$ .

Подсистема первого и второго уравнений (1.1) эллипична при  $M_q < 1$  и гиперболична при  $M_q > 1$ . Во втором случае вдоль характеристик выполняются соотношения

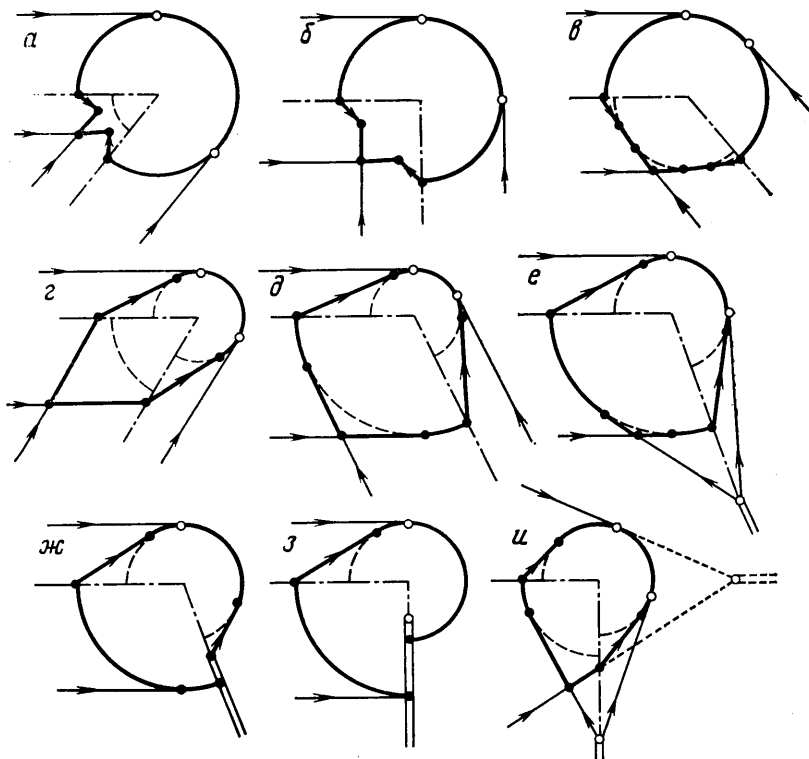
$$d\nu=\pm \operatorname{tg} \mu d\tau, \quad d\tau=\frac{\cos \vartheta \cos \mu}{v_\omega \sin(\vartheta \pm \mu)} d\varphi, \quad d\omega=\frac{\operatorname{ctg}(\vartheta \pm \mu)}{\sin \varphi} d\varphi \\ d\vartheta \pm \frac{\operatorname{ctg} \mu}{\rho q^2} d\rho \pm \left[ \frac{v_R \sin \mu \cos \vartheta}{v_\omega \sin(\vartheta \pm \mu)} - \operatorname{ctg} \varphi \operatorname{ctg}(\vartheta \pm \mu) \right] d\varphi=0 \quad (1.2)$$

где  $\mu=\arcsin(1/M_q)$  — угол Маха конического течения, верхний (нижний) знак отвечает  $c^+$  ( $c^-$ )-характеристикам. На сфере  $R=\operatorname{const}$  они образуют с  $\mathbf{q}$ , т. е. с коническими линиями тока, углы  $\pm\mu$ . Соотношения (1.2) обобщают соответствующие равенства из [3] на газ с произвольной термодинамикой. Уравнения для  $p$  и  $\vartheta$  из (1.1) и условия совместности из (1.2) отличаются от аналогичных уравнений двумерных (плоских и осесимметричных) течений лишь свободными членами. Поэтому, как и в двумерном случае [4], введем направления  $c^\pm$ -характеристик, которые показывают, куда из данной точки распространяются слабые возмущения  $p$  и  $\vartheta$ . В силу (1.1) и (1.2) они совпадают с направлением проекции  $\mathbf{q}$  на данную характеристику. Возмущения  $s$ ,  $I$  и  $v_R$  распространяются по линиям тока ( $c^0$ -характеристикам) в сторону  $\mathbf{q}$ .

2. Пусть перепад  $n=p_i/p_e \approx 1$ , а в общем случае неравномерных и непараллельных набегающих потоков в дополнение к этому малы углы, образуемые вектором  $\mathbf{V}$  с осью  $z$ . Тогда определение структуры течения и, в частности, очертания области конического потока в плоскости  $\xi\eta$  можно провести в рамках линейного приближения. Полученные таким путем результаты, представляя самостоятельный интерес, учитываются также при конструировании разностных сеток для численного решения нелинейной задачи. В линейном приближении проекции поверхностей тока на плоскость  $\xi\eta$  — лучи, идущие в начало координат; области эллиптичности двух первых уравнений (1.1) для внешнего и внутреннего потоков отвечают  $\varphi < m_e$  и  $\varphi < m_i$ , а областям гиперболичности —  $\varphi > m_e$  и  $\varphi > m_i$ , где  $m=\arcsin(1/M)$ , или в плоскости  $\xi\eta$  — внутренность и внешность «звуковых» окружностей (линий параболичности) радиусов  $\operatorname{tg} m_e$  и  $\operatorname{tg} m_i$ . Напомним, что  $M$ , а за ним и  $m$  в отличие от  $M_q$  и  $\mu$  определяются по полной скорости  $\mathbf{V}$ , а не по  $\mathbf{q}$ .

В областях гиперболичности  $c^\pm$ -характеристиками линеаризованной системы (1.1) являются прямые, касающиеся своих звуковых окружностей [2]. В точках касания происходит изменение направлений указанных характеристик. На плоскости  $\xi\eta$   $c^+$ - и  $c^-$ -характеристиками совпадают и следы двумерных характеристических плоскостей, опирающихся на сверхзвуковые кромки. Далее эти характеристики будем называть кромочными. Две пересекающиеся в начале координат  $c^0$ -характеристики — следы на плоскости  $\xi\eta$  основных тангенциальных разрывов (последние в линейном приближении совпадают с плоскостями кромок) — будем называть разрывными.

Сказанное выше и прежде всего соображения о направлении характеристик позволяют для разных случаев строить границы конического течения в плоскости  $\xi\eta$ . Примеры таких построений даны на фиг. 2, где указанные границы, образованные отрезками звуковых окружностей и  $c^\pm$ -характеристик — тонкими прямыми, участки звуковых окружностей, отличные от границ, — штрихами, а разрывные  $c^0$ -характеристики, пересекающиеся в точке  $\xi=\eta=0$ , — штрихпунктиром. Кроме того, на фиг. 2, *e-u*, отвечающих положительным  $\beta$ , двойными линиями нанесены следы разделительных стенок, а на фиг. 2, *u*, соответствующей  $\alpha > 0$ , пунктиром — сечение



Фиг. 2

плоскостью  $z=\text{const}$  мысленного продолжения верхней стенки в область  $x > 0$  и примыкающих к ней кромочных  $c^\pm$ -характеристик. Последние приведены, чтобы пояснить способ построения сплошных участков тех же характеристик для сверхзвуковых кромок при положительных  $\alpha$  и отрицательных  $\beta$ .

Стрелки на  $c^\pm$ -характеристиках (в том числе на отрезках, образующих границу) показывают их направление. В местах касания со звуковыми окружностями направления характеристик меняются на противоположные. Во всех примерах темные точки — концы отрезков прямолинейных  $c^\pm$ -характеристик или звуковых окружностей, составляющих границу конической области, а светлые точки дают кромку разделительной стенки (для  $\beta > 0$ , как на фиг. 2, *ж-u*) и места касания кромочных характеристик и звуковых окружностей. Фигуры 2, *a-в* отвечают  $M_i > M_e$ , остальные —  $M_i < M_e$ . Угол  $\gamma$  между разделительными стенками (в данном приближении между штрихпунктирными прямыми — разрывными  $c^0$ -характеристиками) на фиг. 2, *з* и 2, *u* прямой. На фиг. 2, *a* и *г*  $\gamma < \pi/2$ , в прочих случаях  $\gamma > \pi/2$ . Угол  $\beta \neq 0$  в четырех последних примерах, причем на фиг. 2, *з*  $\pi/2 - \beta < m_{e, i}$ , т. е. кромка — дозвуковая по отношению к обоим потокам,

на фиг. 2, *e* и 2, *u*  $\pi/2 - \beta > m_{e,i}$  и кромка сверхзвуковая в обоих потоках, а на фиг. 2, *ж* ( $m_e < \pi/2 - \beta < m_i$ ) кромка дозвуковая для внутреннего потока и сверхзвуковая для внешнего.

Границы, построенные на фиг. 2, дают конфигурации областей, параметры в которых в нелинейном приближении в общем случае зависят от обеих переменных  $\xi$  и  $\eta$ , а не от некоторой их комбинации, как в кромочной волне разрежения. Исключение представляет конечная окрестность точки регулярного пересечения внутренних кромочных скачков, когда к отраженным скачкам примыкают поступательные потоки. Возможно дальнейшее разбиение построенных областей за счет выделения «наружных» подобластей конически сверхзвукового потока. На фиг. 2, *a* - *e*, *d* и *e* они примыкают к точке пересечения внутренних кромочных характеристик (или скачков), а на фиг. 2, *г* и *u* имеют более сложную форму. Поток в наружных подобластях хотя, как правило, и является двумерным, но не зависит от решения сложной эллипτικο-гиперболической краевой задачи в оставшейся части конической области (последнюю по этой причине можно назвать основной). Наружные конические потоки в принципе могут рассчитываться заранее, например, методом «конических» характеристик, а затем в рамках подхода, развитого в [1], использоваться при расчете основного конического течения. Ниже, однако, этого не делалось и счет всей конической области велся с помощью однородного алгоритма установления по координате *z*.

Наряду с построением областей конического и основного конического потоков линейный анализ позволяет получить закон подобия исследуемых течений. При его выводе прежде всего учтем, что в силу последнего уравнения (1.1) и условий на стационарных скачках полная энтальпия *I* постоянна во внешней и внутренней подобластях (по разные стороны от основного тангенциального разрыва, а в линейном приближении — от штрихпунктирной ломаной). Если же  $\Delta p$  (приращение *p*) на скачках мало, то аналогичное утверждение с точностью до  $O\{(\Delta p)^2\}$  включительно справедливо и для энтропии. Это позволяет считать  $\rho$  функцией *p* (при постоянной  $s_e$  или  $s_i$ ) и еще до линеаризации избавиться от коэффициента  $1/\rho$  перед производными, что снижает погрешности линейного приближения, так как при сверхзвуковых скоростях изменение упомянутого коэффициента вносит наиболее серьезный вклад в ошибки линеаризации [5].

Перепишем три первых уравнения (1.1) в переменных  $\xi\eta$  и заменим  $v_R$ ,  $v_\phi$  и  $v_\omega$  проекциями *u*, *v* и *w* вектора скорости на оси цилиндрической системы координат  $zr\omega$  (фиг. 1). Выполнив с использованием интеграла энергии линеаризацию полученных уравнений, придем к системе

$$(\sigma_{e,i}^2 \chi^2 - 1) \left( \frac{\xi}{\chi} \frac{\partial P^\circ}{\partial \xi} + \frac{\eta}{\chi} \frac{\partial P^\circ}{\partial \eta} \right) + \eta \frac{\partial w^\circ}{\partial \xi} - \xi \frac{\partial w^\circ}{\partial \eta} - v^\circ = 0 \quad (2.1)$$

$$\frac{\eta}{\chi} \frac{\partial P^\circ}{\partial \xi} - \frac{\xi}{\chi} \frac{\partial P^\circ}{\partial \eta} + \xi \frac{\partial w^\circ}{\partial \xi} + \eta \frac{\partial w^\circ}{\partial \eta} = 0$$

$$\frac{\xi}{\chi} \frac{\partial P^\circ}{\partial \xi} + \frac{\eta}{\chi} \frac{\partial P^\circ}{\partial \eta} - \xi \frac{\partial v^\circ}{\partial \xi} - \eta \frac{\partial v^\circ}{\partial \eta} = 0$$

$$\left( \sigma^2 = M^2 - 1, \chi = \sqrt{\xi^2 + \eta^2}, \quad P^\circ = \frac{1}{V^2} \int_{e,i}^p \frac{dp}{\rho(p, s_{e,i})} = i^\circ = -u^\circ \right)$$

справедливой с каждой стороны от штрихпунктирной ломаной на фиг. 2 (с соответствующим индексом *e* или *i*). Возмущения компонент скорости  $u^\circ, \dots$  введены в (2.1) равенствами  $u = V_{e,i}(1 + u^\circ)$ ,  $v = V_{e,i}v^\circ$  и  $w = V_{e,i}w^\circ$ , а  $i^\circ = (i - i_{e,i})/V_{e,i}^2$ .

Третье уравнение из (2.1) содержит производные только вдоль конических линий тока:  $d\eta/d\xi = \eta/\xi$ , и, следовательно, как и исходное нелинейное уравнение для  $v_R$  из (1.1), имеет характеристический вид. Если  $\sigma^2 \chi^2 > 1$ , то характеристическими уравнениями, естественно, можно заме-

нить и два первых уравнения этой системы. Характеристические уравнения, эквивалентные в таком случае системе (2.1), записываются в форме

$$\frac{\lambda}{\chi} \frac{D^{\pm} P^{\circ}}{D\xi} \mp \frac{D^{\pm} w^{\circ}}{D\xi} = \frac{v^{\circ}}{\lambda \xi \mp \eta}, \quad \frac{DP^{\circ}}{D\xi} = \chi \frac{Dv^{\circ}}{D\xi} \quad (2.2)$$

$$\left( \frac{D^{\pm}}{D\xi} = \frac{\partial}{\partial \xi} + \frac{\lambda \eta \pm \xi}{\lambda \xi \mp \eta} \frac{\partial}{\partial \eta}, \quad \lambda = \sqrt{\sigma^2 \chi^2 - 1}, \quad \frac{D}{D\xi} = \frac{\partial}{\partial \xi} + \frac{\eta}{\xi} \frac{\partial}{\partial \eta} \right)$$

Здесь опущены индексы  $e$  и  $i$  у  $\sigma$ , а верхние (нижние) знаки отвечают  $c^+$  ( $c^-$ )-характеристикам. В плоскости  $\xi\eta$  направление  $c^+$  ( $c^-$ )-характеристики получается поворотом вектора  $\mathbf{q}$  на угол  $\mu$  против (по) часовой стрелки ( $e$ ).

Граничными условиями рассматриваемой задачи являются условие непротекания на следах разделительных стенок (если последние пересекают плоскость  $z = \text{const} > 0$ , что, согласно фиг. 1, имеет место при  $\alpha < 0$  или  $\beta > 0$ ) и требования непрерывности  $p$  и нормальной компоненты вектора скорости на тангенциальном разрыве и отсутствия возмущений параметров в набегающих потоках. Кроме того, при  $\alpha > 0$  или  $\beta < 0$ , когда плоскость  $z = \text{const} > 0$  не пересекается с соответствующими кромками, необходимо либо задать возмущенные параметры при  $\chi \rightarrow \infty$  в неограниченно расширяющихся в плоскости  $\xi\eta$  областях кромочных течений, либо, что проще, ввести в задачу дополнительную информацию о положении границ указанных областей (или области), как это показано на фиг. 2, и пунктиром (пунктирные кривые пересекаются в точке  $\xi = \text{ctg } \alpha$ ,  $\eta = 0$ ). При записи условия непрерывности  $p$  учтем, что в силу (2.1)  $P^{\circ}$  — функция не только  $p$ , но и  $s$  при, в общем случае,  $s_i \neq s_e$ . Из-за этого непрерывность  $p$  не влечет за собой непрерывности  $P^{\circ}$ .

Чтобы записать следующее из непрерывности  $p$  условие для разрыва  $P^{\circ}$ , примем, что  $\rho/\rho_e, i = (p/p_e, i)^{1/k}$  с одинаковым для обоих потоков показателем  $k$ . При течении совершенных газов с одним и тем же показателем адиабаты  $k$  данная формула является точной, а  $k = \kappa$ . В общем случае на нее следует смотреть как на некоторую аппроксимацию, причем использование даже значения  $k=1$  существенно повышает точность линейной теории [5]. При течении совершенных газов с  $\kappa_i \neq \kappa_e$  еще лучшим приближением служит  $k = (\kappa_i + \kappa_e)/2$ . Последнюю формулу для  $k$  можно использовать и для газов с произвольными уравнениями состояния, понимая под  $\kappa_e, i$  локальные показатели адиабаты, определенные по параметрам каждого из возмущенных потоков равенством  $\kappa = (\partial \ln p / \partial \ln \rho)_e \equiv \rho a^2 / p$ .

С использованием описанных выше показателей  $k$  и  $\kappa_{e, i}$  условия на тангенциальном разрыве (в плоскости  $\xi\eta$  — на разрывной  $c^0$ -характеристике) и на разделительных стенках (при  $\alpha < 0$  или  $\beta > 0$ ) записываются в виде

$$w_+^{\circ} = w_-^{\circ}, \quad P_+^{\circ} - KP_-^{\circ} = \varepsilon \quad \{(\xi, \eta) | \text{ctg } \alpha < \xi < 0, \quad \eta = 0; \quad \eta = \xi \text{ tg } \gamma, \\ 0 < \chi < \text{ctg } \beta\}, \quad w_{\pm}^{\circ} = 0 \quad \{(\xi, \eta) | \xi < \text{ctg } \alpha < 0, \quad \eta = 0; \quad \eta = \xi \text{ tg } \gamma, \\ 0 < \text{ctg } \beta < \chi\} \quad (2.3)$$

$$\left( \varepsilon = \frac{k}{(k-1) \kappa_e M_e^2} (n^{(k-1)/k} - 1), \quad K = \frac{\kappa_i M_i^2}{\kappa_e M_e^2} n^{(k-1)/k} \right)$$

Здесь индексы «минус» и «плюс» приписаны возмущенным параметрам внутреннего и внешнего потоков; как и ранее,  $n = p_i / p_e$ , формула для  $\varepsilon$  верна при любых  $k$ , в том числе при  $k=1$ , когда имеет место непрерывный переход к  $\varepsilon = (\ln n) / (\kappa_e M_e^2)$ . В дополнение к (2.3) в невозмущенных набегающих потоках в силу определения величин с индексом «градус» имеем

$$P^{\circ} = v^{\circ} = w^{\circ} = u^{\circ} = i^{\circ} = 0 \quad (2.4)$$

Как видно из фиг. 2,  $u$ , при положительных  $\alpha$  расширяющаяся область кромочного течения ограничена прямолинейными  $c^+$ - и  $c^-$ -характеристиками

$$\eta = \eta_{e, i}(\xi) = \pm (1 - \xi \text{ tg } \alpha) (\sigma_{e, i}^2 - \text{tg}^2 \alpha)^{-1/2} \quad (2.5)$$

где верхний (нижний) знак и первый (второй) индекс отвечают верхней (нижней) границе, а  $\xi$  заведомо не превосходит  $\sigma_{e, i}^2 \text{ tg } \alpha$ . На них вплоть до точек касания со звуковыми окружностями параметры в общем случае

вдвуются, а их скачки удовлетворяют соотношениям

$$[P^\circ] = \text{const}, \quad [v^\circ] = [P^\circ]/\chi, \quad [w^\circ] = \mp \lambda [P^\circ]/\chi \quad (2.6)$$

где  $[\Phi]$  — скачок  $\Phi$  при переходе через разрыв, верхний (нижний) знак соответствует  $c^+$  ( $c^-$ )-характеристике. В силу (2.6) с удалением от начала координат  $[v^\circ] \rightarrow 0$ , а  $[w^\circ] \rightarrow \pm \sigma_{e,i} [P^\circ]$ . Как и для других течений, зависящих от двух переменных (см., например, [6, 7]), (2.6) есть следствие линеаризованных уравнений характеристик (в данном случае (2.2)). В нелинейном приближении формулы, аналогичные (2.6), справедливы для разрывов производных по нормали к характеристике.

Распределения  $P^\circ, \dots$  в расширяющейся при  $\alpha > 0$  кромочной области даются формулами

$$P_{+}^\circ = \varepsilon \left( 1 + K \frac{\sqrt{\sigma_e^2 - \text{tg}^2 \alpha}}{\sqrt{\sigma_i^2 - \text{tg}^2 \alpha}} \right)^{-1}, \quad P_{-}^\circ = -P_{+}^\circ \frac{\sqrt{\sigma_e^2 - \text{tg}^2 \alpha}}{\sqrt{\sigma_i^2 - \text{tg}^2 \alpha}}$$

$$v_{\pm}^\circ = (\xi v_x^\circ + \eta v_y^\circ)_{\pm} / \chi, \quad w_{\pm}^\circ = (\xi v_y^\circ - \eta v_x^\circ)_{\pm} / \chi \quad (2.7)$$

$$v_{x\pm}^\circ = P_{\pm}^\circ \text{tg} \alpha, \quad v_{y\pm}^\circ = \pm P_{\pm}^\circ \sqrt{\sigma_{e,i}^2 - \text{tg}^2 \alpha}$$

где  $v_x^\circ$  и  $v_y^\circ$  — отнесенные к  $V_{e,i}$  проекции вектора скорости на оси  $x$  и  $y$ . Формулы (2.7) являются решением задачи обтекания сверхзвуковой кромки двумя однородными потоками. В этой задаче давление в зоне взаимодействия постоянно, а  $P^\circ$  вместе с  $v_x^\circ$  и  $v_y^\circ$  — кусочно-постоянны со скачком на тангенциальном разрыве — прямой  $\eta = 0$ . На нем выполняются два первых условия из (2.3), а на характеристиках (2.5), ограничивающих рассматриваемую кромочную область, — равенства (2.6) с заменой в силу (2.4)  $[\Phi]$  на  $\Phi_{\pm}$  соответственно. Распределения (2.7), естественно, удовлетворяют системе (2.1). Условия, которые при  $\beta < 0$  выполняются для второй кромочной области, аналогичны (2.5) — (2.7).

Выписанные выше уравнения и условия позволяют сформулировать закон подобия исследуемых конических течений. Поступая стандартным способом, как, например, в [4, 8], найдем, что в данном случае указанный закон имеет вид

$$u = V_{e,i} (1 + \varepsilon u^{\circ\circ}), \quad v = \varepsilon \sigma_i V_{e,i} v^{\circ\circ}, \quad w = \varepsilon \sigma_i V_{e,i} w^{\circ\circ},$$

$$P(p') \equiv \int_1^{p'} \frac{dp'}{\rho'} = \varepsilon (\chi M^2)_{e,i} P^{\circ\circ} \quad (2.8)$$

$$\Phi^{\circ\circ} = \Phi^{\circ\circ}(\sigma_i \xi, \sigma_i \eta, K, K_\sigma, K_\alpha, K_\beta, \gamma)$$

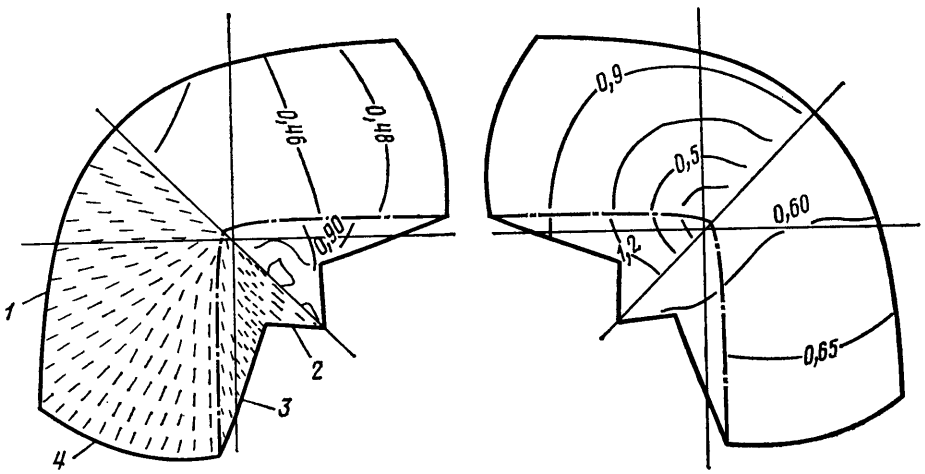
$$\left( K_\sigma = \frac{\sigma_e^2}{\sigma_i^2} = \frac{M_e^2 - 1}{M_i^2 - 1}, \quad K_\alpha = \frac{\text{tg} \alpha}{\sigma_i}, \quad K_\beta = \frac{\text{tg} \beta}{\sigma_i}, \quad \Phi' = \frac{\Phi}{\Phi_{e,i}} \right)$$

где, как и ранее, индексы  $e$  и  $i$  отвечают соответственно внешней и внутренней подобластям конического потока. Так как  $dP/dp' = 1/\rho' > 0$ , то существует обратная функция  $p' = f(P)$ , и, следовательно,

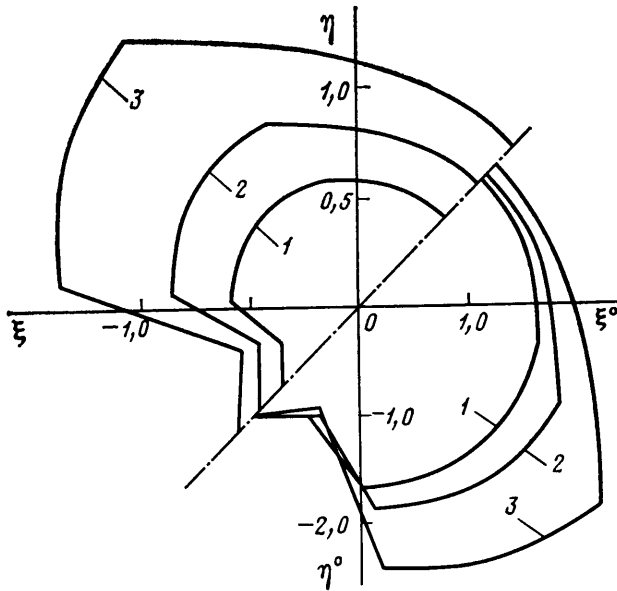
$$p = p_{e,i} f\{\varepsilon (\chi M^2)_{e,i} P^{\circ\circ}\} \approx p_{e,i} + \varepsilon (\rho V^2)_{e,i} p^{\circ\circ}$$

Точность второй из приведенных формул для  $p$  ниже, чем первой.

3. Численное решение нелинейных уравнений Эйлера с целью построения полной картины конического течения проводилось в рамках подхода, развитого в [1]. Уравнения, записанные в декартовых координатах  $x, y, z$ , интегрировались слоями  $z = \text{const}$  по «маршевому» («сверхзвуковому») аналогу схемы С. К. Годунова [9], как правило, с выделением всех границ существенно конического (зависящего от  $\xi$  и  $\eta$ ) потока и основного тангенциального разрыва. Решение вырабатывалось установлением по  $z$ , т. е. счет велся до тех пор, пока в переменных  $\xi, \eta, z$  параметры с точностью, существенно превышающей возможности графического представления, пе-



Фиг. 3



Фиг. 4

реставали зависеть от  $z$ . Полученные при этом результаты неплохо коррелируют с качественными выводами линейного анализа п. 2.

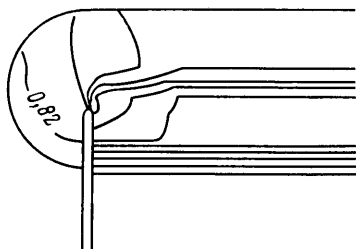
В приводимых далее примерах рассчитывалось взаимодействие потоков совершенного газа с  $\kappa_i = \kappa_e = \kappa = 1,4$  при давлении в струе, превышающем давление во внешнем потоке ( $n = p_i/p_e > 1$ ), и при углах  $\alpha = 0$  и  $\gamma = \pi/2$ . В дополнение к этому в случаях, представленных на фиг. 3 и 4,  $\beta = 0$ .

Фигура 3 отвечает  $n = 2$ ,  $M_i = 2,03$  и  $M_e = 1,47$ . На ней показаны граница области конического течения, тангенциальный разрыв (штрихпунктир), направление конических линий тока (слева внизу), изохоры (слева вверху), изобары (справа внизу) и линии постоянства конического числа Маха  $M_q$  (справа вверху). В данном случае граница конического течения состоит из ударной волны 1, характеристик 2 и 3 и линии параболности 4. Во внутренней части рассчитанной области (под тангенциальным разрывом) изохоры  $\rho/\rho_i = \text{const}$  построены через 0,04, изомахи  $M_q = \text{const}$  — через 0,4, а изобары  $p/p_i = \text{const}$  — через 0,1. Сравнение фиг. 3 с фиг. 2, б показывает, что, несмотря на заметное влияние эффектов нелинейности, линейный анализ дает качественно правильную картину течения. На фиг. 3 не показано сильное сгущение изолиний, наблюдающееся в окрестности участка 2 границы конического течения.



Фигура 4 демонстрирует степень выполнения закона подобия (2.8). В ее левой части в плоскости  $\xi\eta$  нарисованы границы области конического течения (точнее, половинки этой области) для трех режимов, характеризующихся одинаковыми значениями параметров подобия ( $K=2,3$ ,  $K_\sigma=0,375$ ,  $K_\alpha=K_\beta=0$ ). Цифрой 1 помечены границы, рассчитанные для  $M_i=3$ ,  $M_e=2$ ,  $n=1,1$  и  $\epsilon=0,017$ , цифрой 2 — для  $M_i=2,38$ ,  $M_e=1,66$ ,  $n=1,5$  и  $\epsilon=0,11$  и, наконец, цифрой 3 — границы из предыдущего примера ( $\epsilon=0,25$ ). В правой части фиг. 4 те же границы перерисованы в переменных подобия  $\xi^\circ=\sigma_i\xi$  и  $\eta^\circ=\sigma_i\eta$ . Видно, что если в плоскости  $\xi\eta$  отличие границ велико, то после перехода к  $\xi^\circ\eta^\circ$  наблюдается заметное сближение (особенно первой и второй, соответствующих достаточно малым  $\epsilon$ ).

Последний пример относится к конфигурации типа сопла с прямоугольным поперечным сечением и с «косым срезом» ( $\alpha=0$ ,  $\beta=71,5^\circ$ ,  $\gamma=\pi/2$ ) при его работе на режиме  $M_i=M_e=1,5$ ,  $n=1,45$  и  $\epsilon=0,12$ . В отличие от предыдущих примеров расчет велся с выделением только части границ областей возмущенного и конического по-



Фиг. 5

токов и без выделения тангенциального разрыва. Результаты расчета приведены на фиг. 5, на которой через шаг 0,02 изображены изохоры  $\rho/\rho_i=\text{const}$ .

Там же показаны ударная волна — внешняя граница возмущенного потока — и боковая стенка (двойная линия). Центрированная волна разрежения и «размазанный» тангенциальный разрыв, расположенные внутри канала, на фиг. 5 представлены сгущением изохор. Сравнение фиг. 5 с фиг. 2, з, построенной для подобной ситуации в рамках линейного анализа, обнаруживает их очевидное сходство.

#### ЛИТЕРАТУРА

1. Макаров В. Е. К выделению поверхностей разрывов при численном расчете сверхзвуковых конических течений. — Журн. вычисл. матем. и матем. физики, 1982, т. 22, № 5, с. 1218–1226.
2. Булах Б. М. Нелинейные конические течения газа. М.: Наука, 1970. 344 с.
3. Salas M. D. Flow patterns near a conical sonic line. — AIAA Journal, 1980, v. 18, № 3, p. 227–234.
4. Ландау Л. Д., Лифшиц Е. М. Механика сплошных сред. М.: Гостехиздат, 1953. 788 с.
5. Крайко А. Н., Ткаленко Р. А. К построению линейной теории неравновесных и равновесных течений. — Изв. АН СССР. МЖГ, 1968, № 6, с. 26–33.
6. Крайко А. Н. Исследование слабо возмущенных сверхзвуковых течений при произвольном числе неравновесных процессов. — ПММ, 1967, т. 30, № 4, с. 661–673.
7. Крайко А. Н. Некоторые вопросы геометрической акустики одномерных нестационарных и двумерных стационарных течений. — Изв. АН СССР. МЖГ, 1967, № 5, с. 104–109.
8. Крайко А. Н., Тагиров Р. К. К околозвуковому обтеканию тел вращения с протоком при наличии истекающей из протока струи. — Изв. АН СССР. МЖГ, 1974, № 6, с. 73–80.
9. Годунов С. К., Забродин А. В., Иванов М. Я., Крайко А. Н., Прокопов Г. П. Численное решение многомерных задач газовой динамики. М.: Наука, 1976. 400 с.

Москва

Поступила в редакцию  
1.II.1984